

# ΒΡΑΧΕΙΑ ΔΗΜΟΣΙΕΥΣΗ

## SHORT COMMUNICATION

### Αποπληξία μη εκκριτικού αδενώματος υπόφυσης σε έφηβο

Ε. Τζεμανάκης,<sup>1</sup> Σ.Π. Ντουράκης,<sup>1</sup>  
Β. Αθανασίου,<sup>2</sup> Γ. Τόλης<sup>2</sup>

<sup>1</sup>Β' Πανεπιστημιακή Παθολογική Κλινική

<sup>2</sup>Ενδοκρινολογική Κλινική, Ιπποκράτειο ΠΓΝΑ, Αθήνα

Pituitary non-secreting macroadenoma apoplexy in an adolescent

Abstract at the end of the article

**Λέξεις ευρετηρίου:** Αδένωμα υπόφυσης, Αποπληξία υπόφυσης, Έφηβος, Υποφυσιακή ανεπάρκεια

Η αποπληξία της υπόφυσης είναι ασύνηθες κλινικό σύνδρομο, που χαρακτηρίζεται κλασικά από κεφαλαλγία, διαταραχές της όρασης και οφθαλμοπληγία. Συνήθως οφείλεται σε έμφρακτο ή αιμορραγία μακροαδενώματος της υπόφυσης. Η αποπληξία επιπλέκει το 0,6–12,3% των αδενωμάτων και εκδηλώνεται συνήθως σε ενήλικες (37,7–52 ετών).<sup>1</sup> Η συμπτωματική αποπληξία μη εκκριτικού αδενώματος της υπόφυσης σε παιδιά και εφήβους είναι πολύ σπάνια.<sup>2</sup> Η καθυστέρηση της διάγνωσης μπορεί να θέσει τον ασθενή σε κίνδυνο τύφλωσης και φλοιοεπινεφριδιακής ανεπάρκειας.

Περιγράφεται έφηβος ασθενής με κεφαλαλγία, πυρετό και μερική υποφυσιακή ανεπάρκεια, που έπασχε από αποπληξία μη εκκριτικού αδενώματος της υπόφυσης.

#### ΠΕΡΙΓΡΑΦΗ ΠΕΡΙΠΤΩΣΕΩΣ

Έφηβος 15 ετών, μαθητής, από την Αθήνα, εισήχθη στην Κλινική λόγω πυρετού έως 39,5 °C χωρίς ρίγος, έντονης

Υποθλιότητες 1.12.1999  
Εγκρίθηκε 17.12.1999

οπισθοκογκικής και μετωπιαίας κεφαλαλγίας, αισθήματος ζάλης και φωτοφοβίας από 4ημέρου. Ελάμβανε αγωγή με αναδημητικά, χωρίς ύφεση των συμπτωμάτων. Από το ατομικό αναμνηστικό αναφερόταν αναστολή της καθ' ύψος αιγάλους από την πλικία των 14,5 ετών. Δεν κάπνιζε και δεν έπινε.

Κατά την κλινική εξέταση διαπιστώθηκαν τα εξής: Όψη πάσχοντος, ύψος 160 cm, σωματικό βάρος 60,2 kg, επιφάνεια σώματος 1,50 m<sup>2</sup>, αρτηριακή πίεση 110/80 mmHg, σφύξεις 96/min, θερμοκρασία 39,2 °C, ελαφρά δυσκαμψία αυχένα, σημείο Kerning (+), τρίχωση εφηβίου κατά Tanner II, όγκος δρκεων 1,5–2 cm<sup>3</sup>, απουσία τρίχωσης μασχαλών και προσώπου, θυρεοειδής κ.φ.

Εργαστηριακώς, διαπιστώθηκαν τα ακόλουθα: Hct 35%, MCH 22,2 pg, MCHC 32,4 g/dL, MCV 68,4 fL, λευκά αιμοσφαίρια 8900/mm<sup>3</sup> (πολυμορφοπύρηνα 55%, λεμφοκύτταρα 34%, μεγάλα μονοπύρηνα 8%, πωσινόφιλα 3%), αιμοπετάλια 290.000/mm<sup>3</sup>, TKE 71 mm, ουρία 22 mg/dL, κρεατινίνη 1,1 mg/dL, γλυκόζη 103 mg/dL, χοληστερόλη 219 mg/dL, τριγλυκερίδια 139 mg/dL, λευκώματα ορού 7,0 g/dL, λευκωματίνες 4,1 g/dL, AST 19 U/L, ALT 26 U/L, γGT 52 U/L, ALP 88 U/L, LDH 220 U/L, CPK 103 U/L, αμυλάση 48 U/L, χολερυθρίνη ολική 0,8 mg/dL με άμεση 0,13 mg/dL, ουρικό οξύ 4,2 mg/dL, Na 144 mEq/L, K 5,4 mEq/L, ασθέσιο 10,1 mg/dL, φωσφόρος 4,1 mg/dL, χρόνος προθρομβίνης 14,1 sec (INR 1,23), APTT 30 sec, ιναδογόνο 530 µg/dL, DD<0,25 µg/dL, FS (-), σίδηρος 90 µg/dL, σιδηροφυδλίνη 220 mg/dL, φεριτίνη 173 ng/mL. Ηλεκτροφόρηση αιμοσφαιρίνης: Hb A<sub>1</sub> 5,4% (φυσιολογικές τιμές, ΦΤ, έως 3,3%), Hb F 3,2% (ΦΤ<1%). Δοκιμασία δρεπανώσεως (-), G6PD: Αποχρωματισμός σε 15 min (ΦΤ 15–60 min). Ηλεκτροφόρηση λευκωμάτων: λευκωματίνη 48,8%, α<sub>1</sub>-σφαιρίνη 4,7%, α<sub>2</sub> 14,4%, β 13,5%, γ 18,6%. Οι ορολογικές εξετάσεις για την αναζήτηση ανοσοσφαιρινών κλάσεως IgM έναντι μεγαλοκυτπαροϊού, ιού Epstein-Barr, ιών ερπητια, ήταν αρνητικές. Γενική ούρων φυσιολογική.

Έγινε οσφυονωπία παρακέντηση. Το υγρό ήταν άχρουν και διαυγές. Κύπαρα: 145/mm<sup>3</sup>, καθ' υπεροχή λεμφοκύτταρα, γλυκόζη 66 mg/dL, LDH 27 U/L, λεύκωμα <20 mg/dL. Οι καλλιέργειες αίματος, ούρων και εγκεφαλονωτιάου υγρού ήταν στείρες.

Ηλεκτροκαρδιογράφημα κ.φ. Ακτινογραφίες θώρακος και παραρρινίων κόλπων κ.φ. Η βυθοσκόπηση και ο έλεγχος των οπικών πεδίων ήταν φυσιολογικός.

Σε αξονική τομογραφία εγκεφάλου διαπιστώθηκε χωροκατακτητική εξεργασία στην υπόφυση (εικ. 1).

Σε ακτινογραφία του τουρκικού εφιππίου, η εγκάρσια διάμετρος του ήταν ελαφρώς διευρυσμένη, ενώ η απόσταση μεταξύ προσθίων και οπισθίων κλινοειδών αποφύσεων ήταν φυσιολογική, χωρίς οστική διάθρωση (εικ. 2).



**Εικόνα 1.** Αξονική τομογραφία εγκεφάλου. Χωροκατακτητική εξεργασία υπόφυσης (βέλη).



**Εικόνα 2.** Ακτινογραφία τουρκικού εφιππίου (βέλος).

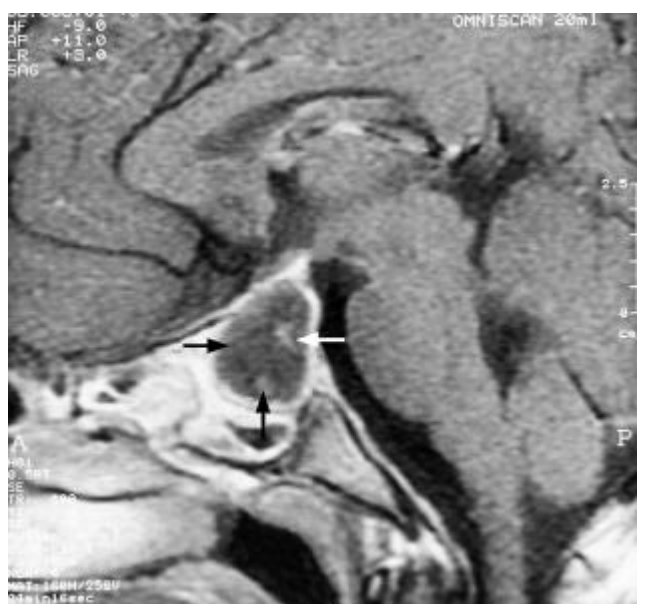
Σε μαγνητική τομογραφία της υπόφυσης διαιπιστώθηκε χωροκατακτητική εξεργασία στο τουρκικό εφίππιο, διαμέτρου  $2 \times 2,5$  cm, η οποία προέβαλλε εντός του τουρκικού εφιππίου, προκαλώντας εκβάθυνση του εδάφους αυτού, καθώς και στο σφυνοειδή κόλπο, χωρίς διάβρωση των οστών. Η εξεργασία απωθούσε το οπικό κίασμα προς τα άνω και ιδιαίτερα το αριστερό οπικό νεύρο. Εντός αυτής διακρίνονταν στοιχεία με υψηλό μαγνητικό σήμα, που μπορούσε να αντιστοιχεί σε

πρωτεΐνούχο ή αιμορραγικό υλικό. Η εικόνα συνηγορούσε περισσότερο για μακροαδένωμα της υπόφυσης, ενώ δεν ήταν δυνατό να αποκλείσει άλλους δύκους της περιοχής (π.χ. κρανιοφαρυγγίωμα ή μπνιγγίωμα) (εικ. 3).

Ο ορμονολογικός έλεγχος της υπόφυσης έδειξε τα εξής: Αυξητική ορμόνη (GH) 0,13 ng/mL (ΦΤ <2), σωματομεδίνη-1 (IGF-1) 114 ng/mL (ΦΤ 182–780), δεσμευτική πρωτεΐνη σωματομεδίνης (IGF-1BP3) 8,0 µg/L (ΦΤ 2–4), θυλακιοτρόπος (FSH) 0,4 mU/mL (ΦΤ 1–8), ωχρινοτρόπος (LH) 0,4 mU/mL (ΦΤ 0,6–12,0), 17-OH-προγεστερόνη 0,1 ng/mL (ΦΤ 0,2–2), προλακτίνη (PROL) 4,1 ng/mL (ΦΤ <15), τεστοστερόνη (TESTO) 19 ng/100 mL (ΦΤ 350–1100), ελεύθερη τεστοστερόνη (F-TESTO) 1,0 pg/mL (ΦΤ 19–41), Δ4-ανδροστενδιόνη 0,2 ng/mL (ΦΤ 0,6–3,7), DHEA-S 110 ng/mL (ΦΤ 800–5600), φυλοσύνδετη σφαιρίνη (SHBG) 82 nmol/L (ΦΤ 10–70), κορτιζόλη (πρωινή λήψη) 1,2 µg/100 mL (ΦΤ 5,5–23,5), ACTH (πρωι) 9,8 pg/mL (ΦΤ 10–100), θυροειδοτρόπος (TSH) 1,4 µU/mL (ΦΤ 0,2–5,0), ελεύθερη τριιωδοθυρονίνη (FT3) 1,7 pg/mL (ΦΤ 1,9–5,8), ελεύθερη θυροξίνη (FT4) 0,5 ng/dL (ΦΤ 0,75–1,95), αντι-θυρεοσφαιρινικά αντισώματα (ΑΘΑ) 2 U/mL (ΦΤ 0–50), αντι-μικροσωμιακά αντισώματα (ATPO) 3 U/mL (ΦΤ 0–50).

Τα συμπτώματα υποχώρησαν μετά από λίγες ημέρες. Η διαφορική διάγνωση από άλλης φύσεως χωροκατακτητική εξεργασία της περιοχής δεν ήταν περαιτέρω δυνατή και αποφασίστηκε η διασφινοειδική αδενωματεκτομή. Έγινε προεγχειρητική προετοιμασία με χορήγηση υδροκορτιζόνης 30 mg/ημέρα και θυροξίνης 75 µg/ημέρα.

Στην ιστολογική εξέταση διαιπιστώθηκε εκτεταμένη ισχαιμική νέκρωση χρωμόφοβου, κολποειδούς τύπου, αδενώματος. Θεραπευτικά, χορηγήθηκε υδροκορτιζόνη 30 mg/ημέρα, θυροξίνη 100 µg/ημέρα και ενδεκανοϊκή τεστοστερόνη 40 mg/ημέρα. Ο ασθενής εμφάνισε ήπιο παροδικό άποιο διαβήτη, για τον οποίο



**Εικόνα 3.** Μαγνητική τομογραφία υπόφυσης (βέλη).

δεν απαιτήθηκε αγωγή. Ο μετεγχειρητικός ορμονικός έλεγχος με βασικές τιμές και διεγερτικές δοκιμασίες (TRH, LH-RH κόπωση) έδειξε αδυναμία έκκρισης των TSH, FSH, LH, GH, PRL.

## ΣΧΟΛΙΟ

Τα αδενώματα της υπόφυσης (χρωμόφοβα μη εκκριτικά και εκκρίνοντα GH, PRL, FSH, LH, TSH και ACTH) είναι ασυνήθιο σε παιδιά και εφήβους (2% όλων των ενδοκρανικών όγκων).<sup>3,4</sup> Σε άλλη μελέτη, το 6% των ασθενών με αδένωμα της υπόφυσης που xειρουργήθηκαν ήταν κάτω των 20 ετών και, από αυτούς, το 65% ήταν έφηβοι.<sup>5</sup> Σε αντίθεση με τους ενήλικες (30%), στα παιδιά και στους εφήβους τα μη εκκριτικά αδενώματα είναι σπάνια (3%). Στην ίδια μελέτη, αποπλοξία της υπόφυσης είχε το 16% (22/136) των ασθενών κάτω των 20 ετών, που xειρουργήθηκαν λόγω αδενώματος της υπόφυσης. Από αυτούς, μόνο ένας είχε συμπτωματική αποπλοξία, ενώ τα 2/3 των ασθενών με σιωπηλή αποπλοξία έπασχαν από προλακτινώματα.<sup>5</sup> Συνεπώς, η συμπτωματική αποπλοξία μη εκκριτικού αδενώματος της υπόφυσης σε έφηβο είναι πολύ σπάνια.

Παράγοντες που προδιαθέτουν σε αποπλοξία είναι η αγάνηση της ενδοκράνιας πίεσης, ο τραυματισμός στο κεφάλι, η ακτινοβολία της υπόφυσης, η λήψη βρωμοκρυπτίνης, χλωροπρομαζίνης, οιστρογόνων, αντιπιπτικών ή θρομβολυτικών, η διαβητική κετοξέωση, η αιμοκάθαρση, η αγγειογραφία εγκεφάλου ή καρωτίδων, η πνευμοεγκεφαλογραφία, οι δυναμικές δοκιμασίες της υπόφυσης, ο εργάδης τοκετός (σύνδρομο Sheehan), η κύνηση και ο σακχαρώδης διαβήτης.<sup>6-12</sup>

Η κλινική εικόνα της αποπλοξίας της υπόφυσης χαρακτηρίζεται από ξαφνική έντονη μετωπιαία κεφαλαλγία (75,8–95%), διαταραχές της όρασης με μείωση της οπτικής οξύτητας, ημιανοψία μέχρι και πλήρη απώλεια της όρασης (52–62,1%), πάρεση των εγκεφαλικών νεύρων III, IV, V (1ος κλάδος), VI, με αποκλίνοντα ή συγκλίνοντα στραβισμό, μυδρίαση, κατάργηση του φωτοκινητικού αντανακλαστικού και διαταραχές των οπτικών πεδίων (40,4–78%), ερεθισμό των μνηγγών με ναυτία και εμέτους (21,1–69%), διαταραχές της συνείδησης με λίθαργο, διανοητική θόλωση, σύγχυση μέχρι και κωματώδη κατάσταση (89–19,3%), μηνιγγισμό (16,8%), ημιπάρεση (4,3%), πυρετό (2–3%) και διαταραχές του συμπαθητικού συστήματος. Επιπλέον, αρκετές παροδικές ή μόνιμες ενδοκρινοπάθειες προκύπτουν από την αποπλοξία της υπόφυσης, όπως υπογοναδισμός (58–76%), έλλειψη της GH (88%), οξεία επινεφριδιακή ανεπάρκεια (66%), δευτεροπαθής υποθυρεοειδισμός (42–53%) και άποιος διαβήτης (3%).<sup>1,6-8,12</sup> Πολλές φορές, η κλινική εικόνα της αποπλοξίας αποτελεί την πρώτη εκδήλωση του αδενώματος.

Η διάγνωση της αποπλοξίας γίνεται με βάση το ιστορικό και την κλινική εικόνα σε συνδυασμό με τα εργαστριακά και απεικονιστικά ευρήματα. Τα ευρήματα από το εγκεφαλονωτιστικό υγρό δεν είναι διαγνωστικά και μπορεί να συγχέουν την αποπλοξία της υπόφυσης με άλλα νοσήματα. Αύξηση των λευκών αιμοσφαιρίων, των ερυθρών και του λευκώματος είναι δυνατό να παραπροθεί.<sup>6-8,12</sup>

Η ακτινογραφία του τουρκικού εφιππίου δείχνει διεύρυνση του με λέπτωνση ή διάβρωση των τοιχωμάτων του ή ακόμη και πλήρη εξαφάνιση του περιγράμματος του.<sup>6,7</sup>

Η αξονική τομογραφία είναι χρήσιμη για την ανίχνευση της αιμορραγίας στην οξεία φάση (24–48 ώρες). Αναδεικνύει υπέρπυκνη ενδοϋποφυσιακή μάζα, που αντιστοιχεί στο θρόμβο ή στην αιμορραγία, ενώ αργότερα γίνεται υπόπυκνη με υπέρπυκνο δακτύλιο μετά από χορήγηση σκιαγραφικού.<sup>6,7,13</sup>

Η μαγνητική τομογραφία της υπόφυσης βοηθά στην ανίχνευση της αιμορραγίας στην υποξεία φάση (4n ημέρα–1 μήνας). Η αιμορραγία πριν από την 7n ημέρα φαίνεται υπόπυκνη στις ακολουθίες T1 και T2, αλλά η ένταση του σήματος αυξάνει στην περιφέρεια του αδενώματος μετά την 7n ημέρα στην ακολουθία T1.<sup>7,13,14</sup>

Η αγγειογραφία μπορεί να βοηθήσει στη διαφορική διάγνωση μεταξύ αποπλοξίας και ανευρύσματος με υπαρχνοειδή αιμορραγία.<sup>7</sup>

Η διαφορική διάγνωση της αποπλοξίας της υπόφυσης περιλαμβάνει άλλα νοσήματα του κεντρικού νευρικού συστήματος που εμφανίζονται οξέως, όπως τη ρήξη εγκεφαλικού ανευρύσματος, την αυτόματη υπαρχνοειδή αιμορραγία, την οξεία οπτική νευρίτιδα, την κροταφική αρτηρίτιδα, την οφθαλμοπληγική ημικρανία, την ανεπάρκεια της σπονδυλοθασικής αρτηρίας και τη μνηγίτιδα.<sup>5,6</sup>

Η αποπλοξία της υπόφυσης αποτελεί επείγον ενδοκρινολογικό και νευροχειρουργικό πρόβλημα. Η αντιμετώπιση της οξείας φλοιοεπινεφριδιακής ανεπάρκειας και των οφθαλμονευρολογικών σημείων γίνεται με γλυκοκορτικοειδή (δεξαμεθαζόν 2 mg κάθε 6 ώρες ή υδροκορτιζόν 100 mg κάθε 6 ώρες), τα οποία δρουν αποδηματικά και ως θεραπεία υποκατάστασης. Διασφνοειδική εκλεκτική αδενωματεκτομή είναι αναγκαία, όταν η θεραπεία με στεροειδή αποτύχει να βελτιώσει τις διαταραχές της όρασης και της συνείδησης.<sup>7,14</sup>

Ο έφηβος ασθενής μας έπασχε από χρωμόφοβο μη εκκριτικό μακροαδένωμα της υπόφυσης, το οποίο, μέσω χωροκατάκτησης, είχε προκαλέσει πολύ ήπιες κλινικές εκδηλώσεις ανεπάρκειας του προσθίου λοβού της υπόφυσης (έλλειψη τρίχωσης, περιορισμένη σωματική

ανάπτυξη, μικροί όρχεις), που δεν είχαν γίνει αντιληπτές από τους οικείους του. Η έλλειψη ορμονικής παραγωγής δεν επέτρεψε την έγκαιρη κλινική αναγνώριση του αδενώματος. Η κλινική εικόνα έθεσε αρχικώς προβλήματα διαφορικής διάγνωσης από μυνιγγίτιδα ή υπαραχοειδή αιμορραγία, ενώ τα ευρήματα του εγκεφαλονωτιαίου υγρού θεωρήθηκαν συμβατά με ιογενή μυνιγγίτιδα. Η διάγνωση της αποπληξίας του αδενώματος πιθανολογήθηκε απεικονιστικά και τέθηκε ιστολογικά, χωρίς να διαπιστωθεί εκλυτικός παράγοντας της αποπληξίας.

Συμπερασματικά, η αποπληξία αδενώματος της υπόφυσης θα πρέπει να διαφοροδιαγνωσκεται από τη μυνιγγίτιδα σε έφοβους ασθενείς με εμπύρετη κεφαλαλγία.

## ΕΥΧΑΡΙΣΤΙΕΣ

*Ευχαριστούμε το Διευθυντή της Νευροχειρουργικής Κλινικής του ΠΓΝ Αθηνών «Γ. Γεννηματάς» κ. Θ. Λεβέντη και το Διευθυντή του Παθολογοανατομικού Εργαστηρίου του ίδιου Νοσοκομείου κ. Γ. Κοντογεώργο, για τη συνεργασία τους στη διάγνωση της νόσου.*

## ABSTRACT

### Pituitary non-secreting macroadenoma apoplexy in an adolescent

E. TZEMANAKIS,<sup>1</sup> S.P. DOURAKIS,<sup>1</sup>  
B. ATHANASIOU,<sup>2</sup> G. TOLIS<sup>2</sup>

<sup>1</sup>Academic Department of Medicine  
<sup>2</sup>Department of Endocrinology

Hippokration General Hospital, Athens, Greece

Archives of Hellenic Medicine 2000, 17(4):395-398

Pituitary macroadenoma is rare in pediatric and adolescent populations and is usually hormonally functional. Symptomatic pituitary non-secreting macroadenoma apoplexy in an adolescent is a rare life-threatening event. The case is described of an adolescent with a four-day history of headache, fever and photophobia. A meningeal syndrome was postulated on clinical grounds and examination of the cerebrospinal fluid. Following clinical examination and hormone tests, a partial failure of the anterior pituitary was detected. The brain CT scan revealed a space-occupying lesion of the pituitary and on magnetic resonance imaging, a pituitary macroadenoma was suggested. Hypophysectomy was performed and histological examination showed an infarct of a non-functioning

macroadenoma. Hormonal substitution with thyroxine and steroids was prescribed. In conclusion, pituitary non-secreting macroadenoma apoplexy may be the diagnosis in an adolescent with headache and fever. A high index of clinical suspicion is necessary for its differentiation from acute meningitis.

**Key words:** Adolescent, Pituitary adenoma, Pituitary apoplexy, Pituitary deficiency

## Βιβλιογραφία

- BILLS DC, MEYER FB, LAWS ER, DAVIS DH, EBERSOLD MJ, SCHEITHAUER BW ET AL. A retrospective analysis of pituitary apoplexy. *Neurosurgery* 1993, 33:602-609
- MIZUTANI T, TERAMOTO A, ARUGA T, TAKAKURA K, SANNO N. Prepubescent pituitary null cell macroadenoma with silent macroscopic apoplexy. *Neurosurgery* 1993, 33:907-910
- PARTINGTON MD, DAVIS DH, LAWS ER, SCHEITHAUER BW. Pituitary adenomas in childhood and adolescence. Results of transsphenoidal surgery. *J Neurosurg* 1994, 80:209-216
- PINTO G, ZERAH M, TRIVIN C, BRAUNER R. Pituitary apoplexy in an adolescent with prolactin-secreting adenoma. *Horm Res* 1998, 50:38-41
- MINDERMAN T, WILSON CB. Pediatric pituitary adenomas. *Neurosurgery* 1995, 36:259-269
- ΣΑΡΙΔΑΚΗ Α, ΤΑΣΟΠΟΥΛΟΣ ΧΝ, ΤΟΛΗΣ Γ. Υποφυσιακή αποπληξία. Στο: Αβραμίδης Α (Συντ.) *Επείγουσες Ενδοκρινολογικές Καταστάσεις*. University Studio Press, Θεσσαλονίκη, 1983:29-36
- ROLIHC A, OBER KP. Pituitary apoplexy. *Endocrinol Metab Clin North Am* 1993, 22:291-302
- DE LA TORRE M, ALCAZAR R, AGUIRRE M, FERRERAS I. The dialysis patient with headache and sudden hypotension: consider pituitary apoplexy. *Nephrol Dial Transplant* 1998, 13:787-788
- VASSALO M, RANA Z, ALLEN S. Pituitary apoplexy after stimulation tests. *Postgrad Med J* 1994, 70:444-445
- FUCHS S, BEERI R, HASIN Y, WEISS T, GOTSMAN M, ZAHGER D. Pituitary apoplexy as a first manifestation of pituitary adenomas following intensive thrombolytic and antithrombotic therapy. *Am J Cardiol* 1998, 81:110-111
- LOUWERENS M, DE HENDER WW, POSTEMA PT, TANGHE HLJ, LAMBERTS SWJ. Pituitary insufficiency and regression of acromegaly caused by pituitary apoplexy following cerebral angiography. *Eur J Endocrinol* 1996, 134:737-740
- VIDAL E, CEVALLOS R, VIDAL J, RAVON R, MOREAU JJ, ROGUES AM ET AL. Twelve cases of pituitary apoplexy. *Arch Intern Med* 1992, 152: 1893-1899
- OSTROV S, QUENCER RM, HOFFMAN JC, DAVIES PC, HASSO ANM, DAVID NJ. Hemorrhage within pituitary adenomas: How often associated with pituitary apoplexy syndrome? *Am J Roentgenol* 1989, 153: 153-160
- MACCAGNAN P, MACEDO CLD, KAYATH MJ, NOGUEIRA RG, ABUCHAM J. Conservative management of pituitary apoplexy. *J Clin Endocrinol Metab* 1995, 80:2190-2197

*Corresponding author:*

S.P. Dourakis, 28 Achaias street, GR-115 23 Athens, Greece